

# ارائه مدل‌های رگرسیونی چند متغیره برآورد رسوب در حوضه‌های شمال استان خراسان

سعید رضا خداشناس\* - بیژن قهرمان - کامران داوری - حسن ناظریان<sup>۱</sup>

تاریخ دریافت: ۸۶/۷/۱۲

تاریخ پذیرش: ۸۶/۱۱/۱۵

## چکیده

امروزه استفاده از داده‌های رسوب ایستگاه‌های هیدرومتری نقش اساسی در پژوهه‌های آبی دارد. در این مطالعه داده‌های هم‌زمان با رسوی معلق-دبی جریان در ایستگاه‌های هیدرومتری در شمال استان خراسان بزرگ مورد بررسی قرار گرفته‌اند. ۲۹ ایستگاه رسوب‌سنجی انتخاب و سپس با رسوب متوسط سالیانه با استفاده از منحنی سنجه دبی-رسوب برای ایستگاه‌های منتخب محاسبه شد. مقدار با رسوی کل برای این حوزه‌های با مساحت بین ۱۶۸۰۰ کیلومتر مربع از ۴/۸ هزارتن تا ۱۹/۵ میلیون تن در سال و مقدار با رسوی ویژه از ۶۲ تن تا ۳۹۵۵ تن در سال در کیلومتر مربع متغیر بود. به علت تغییرات زیاد با رسوی ویژه و کل، ۲۹ حوزه مورد بررسی به دو گروه ۱۷ حوزه بزرگ (بیش از ۵۰۰ کیلومتر مربع) و ۱۲ حوزه کوچک (کوچکتر از ۳۰۰ کیلومتر مربع) تقسیم شدند. سپس خصوصیات مختلف حوزه‌ها (خصوصیات ژئومورفولوژیکی، اقلیمی، هیدرولوژیکی، پوشش اراضی و زمین‌شناسی) برای بررسی تغییرات زیاد با رسوی ویژه و کل در این حوزه‌ها مورد تجزیه و تحلیل قرار گرفت. از آن‌جا که هیچکدام از پارامترهای مستقل فوق نتوانستند به تنهایی تمام تغییرها با رسوی کل و ویژه را در حوزه‌های مورد بررسی بیان کنند، مدل‌های رگرسیونی چند متغیره بین پارامترهای مستقل و حالت‌های مختلف با رسوی ایجاد شد. نتایج نشان داد با تقسیم ۲۹ حوزه به دو دسته حوزه‌های کوچک و بزرگ افزایش قابل توجهی در ضریب تبیین و کفایت مدل برای مدل‌های به دست آمده برای برآورد با رسوی ویژه ایجاد می‌شود و همچنین ضریب تبیین برای مدل‌های برآورد با رسوی کل نسبت به با رسوی ویژه در تمام حالات بالاتر می‌باشد. بهترین مدل ایجاد شده متشکل از ۵ پارامتر ارتفاع متوسط حوزه، شبیه متوسط حوزه، دبی متوسط جریان در کل سال، بارندگی متوسط و دبی حداقل روزانه با دوره بازگشت ۲ سال برای برآورد با رسوی کل در ۱۲ حوزه کوچک در حالتی بود که داده‌های با رسوی در کل سال در نظر گرفته شد  $ME = 0/79$  و  $R^2 = 0/85$ .

## واژه‌های کلیدی: با رسوی، معادلات رگرسیونی، منحنی سنجه، استان خراسان

## مقدمه

حوزه که مقدار آن در یک نقطه مرجع و در یک دوره زمانی خاص قابل اندازه‌گیری باشد<sup>(۹)</sup>. این مقدار را می‌توان به صورت با رسوی کل (تن در سال) و یا به صورت با رسوی ویژه (تن در سال در کیلومتر مربع) بیان کرد.

بار رسوی عبارت است از کل رسوب خروجی از یک

۱- به ترتیب استادیار، دانشیار، استادیار و دانشجوی کارشناسی ارشد گروه مهندسی آب، دانشکده کشاورزی، دانشگاه فردوسی مشهد  
Email:Saeed khodashenas@yahoo.fr \* - نویسنده مسئول:

فراوانی برای شرح تغییرات باررسوبی توسط اثرات ترکیبی خصوصیات مختلف حوزه های زهکشی در سراسر جهان انجام شده که این روابط عموماً به صورت مدل های رگرسیونی چند متغیره یگانه یا چند گانه بیان می شوند (۶). هدف از این مطالعه، شرح تغییرها باررسوبی و ایجاد مدل های پیش بینی باررسوبی در سه حوزه از شش حوزه شمال استان خراسان بزرگ به وسیله اثرات ترکیبی مورفوژئیکی، اقلیمی، کاربری اراضی، زمین شناسی و هیدرولوژیکی حوزه ها به صورت فرمول های رگرسیونی چند متغیره می باشد.

### مواد و روش ها

#### منطقه مورد مطالعه

استان خراسان بزرگ با وسعتی معادل ۳۱۳۰۰ کیلومتر مربع واقع در طول جغرافیایی  $۱۸^{\circ} ۵۵' \text{ تا } ۶۱^{\circ} ۳۰'$  و عرض جغرافیایی  $۳۰^{\circ} ۸' \text{ تا } ۳۸^{\circ} ۸'$  واقع می باشد. آب و هوای استان متنوع و به طور کلی از نوع خشک تا نیمه خشک متغیر است. بلندترین نقطه در بینالود می باشد که ارتفاع آن از سطح دریا  $۳۳۰۰$  متر و پایین ترین نقطه در محل خروجی دشت سرخس قرار گرفته که ارتفاع آن از سطح دریا  $۲۵۰$  متر است. استان خراسان بزرگ طبق تقسیم بندهای هیدرولوژیکی به ۶ حوزه بزرگ تقسیم می شود که در این مطالعه بار رسوبی در سه حوزه از شش حوزه بزرگ آبریز استان خراسان بزرگ یعنی حوزه آبریز اترک، حوزه آبریز کویر مرکزی و حوزه آبریز قره قوم مورد مطالعه قرار گرفت.

#### آمار و اطلاعات

در این مطالعه پس از جمع آوری داده های همزمان دبی رسوب معلق-دبی جریان در ایستگاه هیدرومتری در سرتاسر استان خراسان بزرگ از شرکت سهامی آب

بار رسوبی یک حوزه تنها بخشی از کل فرسایش رسوب تولیدی درون حوزه می باشد که در اغلب موارد بخش مهمی از آن قبل از رسیدن به نقطه خروجی ته نشین می شود. بنابراین بار رسوبی تنها یک منبع مفید برای استخراج اطلاعاتی در مورد شدت فرسایش خالص درون حوزه می باشد (۱۲).

مطالعات انجام شده نشان می دهد که کاهش سالانه توانایی ذخیره سدهای جهان به دلیل ته نشین شدن رسوبات تقریباً  $۰/۵$  تا  $۱$  درصد حجم مخزن می باشد که برای بسیاری از سدها این مقدار بالاتر از  $۴$  تا  $۵$  درصد بوده و در نتیجه اغلب سدها قسمت اصلی توانایی ذخیره آب خود را در طول  $۲۵$  تا  $۳۰$  سال از دست می دهد (۱۱).

بار رسوبی در یک حوزه مقدار خالص از باقی مانده فرآیندهای فرسایش و ته نشینی می باشد، در نتیجه از تمام متغیرهایی که فرسایش و تحويل رسوب را کنترل می کنند تأثیر می پذیرد. فرسایش خاک به پستی و بلندی، خاک، آب و هوای پوشش گیاهی بستگی دارد در حالی که تحويل رسوب از مورفوژئی حوزه، کاربری اراضی و شکل و تراکم شبکه زهکشی تأثیر می پذیرد (۱۲).

بر طبق نظر دندی و بولتن مساحت حوزه ها یکی از مهمترین متغیرها می باشد و در بسیاری از موارد تنها متغیر مورد استفاده برای پیش بینی بار رسوبی کل و ویژه می باشد (۴). بار رسوبی ویژه عموماً با افزایش مساحت حوزه کاهش می یابد زیرا با افزایش مساحت درصد نسبی نواحی صاف و شبکه های کم که به جای تولید رسوب، ته نشین شدن آن را تسريع می کنند، افزایش می یابد (۱۱) اما این فرضیه با توجه به داده های جمع آوری شده در نقاط مختلف جهان توسط بعضی محققین با تردید روپرتو شده است. این محققین اعلام می نمایند که فاکتورهای منطقه ای ممکن است تأثیر قوی تری بر بار رسوبی ویژه داشته باشند (۳). مطالعات

است. در این بررسی از ضریب اصلاحی فرگوسن (۵) برای اصلاح مقادیر رسویی استفاده شد. در این روش مقدار کاهش پیش بینی بار رسویی توسط منحنی سنجه متناسب با اندازه پخشیدگی داده ها در اطراف خط رگرسیونی می باشد

$$CF = 2.561S^2 \quad (2)$$

که در آن  $S^2$  متوسط مربعات خطای رگرسیون داده های لگاریتم (در مبنای ۱۰) گرفته شده است..

پارامترهای اثرگذار برابر رسویی در این مطالعه به ۵ دسته اصلی پارامترهای ژئومورفولوژیکی، پارامترهای هیدرولوژیکی، پارامترهای اقلیمی، پارامترهای کاربری اراضی و پارامترهای زمین شناسی تقسیم شدند (جدول ۱).

پارامترهای ژئومورفولوژیکی با استفاده از نرم افزار Ilwis استخراج شد بطوری که ابتدا نقشه های توپوگرافی با مقیاس  $\frac{1}{50000}$  و  $\frac{1}{250000}$  در محدوده حوزه ها اسکن گردید. بعد از رقومی کردن مرز حوزه ها و آبراهه های موجود در آن برای حوزه های مورد بررسی از روی نقشه های اسکن شده، نقشه DEM در محدوده حوزه ها نیز ایجاد شد. سپس از روی آن پارامترهای مختلف ژئومورفولوژیکی استخراج گردید. پارامترهای استخراج شده در این مطالعه برای حوزه های بزرگ و کوچک در (جدول ۲) آورده شده است (توضیحات بیشتر در ناظریان (۱۳۸۴) ارایه شده است).

۱- فاصله بین نقطه خروجی حوزه تا دورترین نقطه روی مرز حوزه

۲- نسبت اختلاف بین ارتفاع متوسط حوزه با ارتفاع حداقل حوزه به اختلاف ارتفاع حداقل حوزه با ارتفاع حداقل حوزه

۳- نسبت اختلاف ارتفاع به فاصله افقی بین دو نقطه خروجی حوزه و دورترین نقطه حوزه روی خط تقسیم حوزه

منطقه ای خراسان، ایستگاه های با شرایط زیر به عنوان ایستگاه های مناسب تشخیص داده شد:

الف) بند انحرافی و سد در بالا دست ایستگاه وجود نداشته باشد.

ب) دارای طول دوره آماری مناسب (بیشتر از ۲۰ سال) و آمار دقیق و صحیح باشد و دارای جدیدترین داده های سال های اخیر برای بار رسویی متعلق و دبی جریان عبوری باشند.

ج) محدوده حوزه در استان خراسان بزرگ و در سه حوزه مورد بررسی واقع شده باشد.

بعد از انتخاب ایستگاه های هیدرومتری مناسب نیاز به اندازه گیری بار رسویی می باشد.

برای محاسبه مقدار رسوب متوسط سالانه در این مطالعه از فرمول توانی منحنی سنجه برآورد رسوب که در آن دبی رسوب به دبی جریان عبوری در هر ایستگاه ارتباط داده می شود، استفاده شد (۲).

$$Q_s = a Q_w^b \quad (1)$$

که در آن  $Q_s$  دبی بار رسویی (تن در روز)،  $Q_w$  دبی جریان (مترمکعب در روز)،  $a$  پارامترهای ثابت می باشند. با داشتن دبی های روزانه جریان در طول دوره آماری مشخص و قرار دادن آنها در فرمول توانی به دست آمده برای هر ایستگاه و سپس تقسیم مقدار حاصله بر طول دوره آماری دبی روزانه، مقدار متوسط بار رسویی برای هر ایستگاه در کل سال و ماه های پرباران سال (دی، بهمن، اسفند، فروردین، اردیبهشت، خرداد) محاسبه شد.

بررسی های آماری نشان دادند که مقدار بار رسویی یک رودخانه و قیمت غلط ها از دبی جریان خروجی تخمین زده شوند و از رگرسیون حداقل مربعات از متغیرهای لگاریتم گرفته شده استفاده شود، از مقدار واقعی کمتر تخمین زده می شود. برای اصلاح مقادیر اندازه گیری شده توسط منحنی سنجه چندین فرم از فاکتورهای اصلاح اریب پیشنهاد شده

آن برابر مساحت حوزه باشد

۴- نسبت مساحت حوزه به مجذور طول حوزه

۵- نسبت محیط حوزه به محیط دایره فرضی که مساحت

(جدول ۱) - تعریف و واحد پارامترهای حوزه

نام پارامتر	واحد	نام پارامتر	واحد	نام پارامتر
$L_C$	m	طول حوزه <sup>(۱)</sup>	DD	km/km <sup>2</sup>
$S_{fr}$	%	شبیه متوسط رودخانه ها	T	$c^0$
$H_{mean}$	m	ارتفاع متوسط حوزه	P	mm/yr
$H_{min}$	m	ارتفاع حداقل حوزه	$Q_{im2}$	$m^3/s$
$H_{max}$	m	ارتفاع حداکثر حوزه	$Q_{dm2}$	$m^3/s$
$H_{out}$	m	ارتفاع نقطه خروجی حوزه	$R_{ym}$	mm/yr
$H_{far}$	m	ارتفاع دورترین نقطه حوزه	$R_{mm}$	mm/m
$H_a$	m	اختلاف ارتفاع مطلق	$Q_{ym}$	$m^3/yr$
$S_c$	%	شبیه متوسط حوزه	$Q_{mm}$	$m^3/yr$
$S_{mr}$	%	شبیه رودخانه اصلی	A <sub>i</sub>	$m^2$
$L_{mr}$	m	طول رودخانه اصلی	A <sub>c</sub>	$m^2$
$L_{tr}$	m	طول تمام رودخانه ها	$Q_{sy}$	ton/yr
L	m	محیط	$Q_{sm}$	ton/yr
A	$m^2$	مساحت	$Q_{esy}$	ton/yr
HI	m/m	نسبت پستن و بلندی <sup>(۲)</sup>	$Q_{csm}$	ton/yr
R <sub>f</sub>	m/m	نسبت اختلاف ارتفاع <sup>(۳)</sup>	$Q_{scsy}$	ton/yr.km <sup>2</sup>
F <sub>f</sub>	$m^2/m^2$	ضریب شکل هورتون <sup>(۴)</sup>	$Q_{scsm}$	ton/yr.km <sup>2</sup>
C	m/m	ضریب فشردگی <sup>(۵)</sup>		

حساسیت سنگ ها در محدوده حوزه های مورد نظر بر شر زده شد و از روی آن درصدی از حوزه ها که دارای پوشش اراضی زراعی آبی دارای محدودیت کم شوری، اراضی زراعی دیم، اراضی زراعی آبی مخلوط زراعت و باغ، مخلوط کاربری و دیم بودند و همچنین درصدی از حوزه که دارای سنگ های حساس به فرسایش بودند به ترتیب به عنوان پارامتر مربوط به حساسیت به فرسایش کاربری اراضی و زمین شناسی برای هر حوزه در نظر گرفته شد.

چهار حالت فوق در سه وضعیت از حوزه ها یعنی تمام حوزه مورد بررسی، ۱۲ حوزه با مقیاس  $\frac{1}{5000}$  (مساحت کمتر از ۳۰۰ کیلومتر مربع) و ۱۷ حوزه با مقیاس  $\frac{1}{25000}$  (مساحت بیشتر از ۵۰۰ کیلومتر مربع) در نظر گرفته شدند و مجموعاً در ۱۲ حالت داده های رسوبی مورد بررسی قرار گرفتند. (جداول ۲ و ۳) مقادیر رسوب و

پارامترهای هیدرولوژیکی به کار گرفته شده در این مطالعه عبارتند از: میانگین دبی حداکثر لحظه ای، میانگین دبی حداکثر روزانه، دبی متوسط جریان در کل سال و ماه های پرباران سال، رواناب متوسط جریان در کل سال و در ماه های پرباران سال. مقادیر پارامترها از روى داده های اولیه اخذ شده از شرکت سهامی آب منطقه ای خراسان محاسبه گردید.

پارامترهای اقلیمی در نظر گرفته شده عبارت بودند از: دمای متوسط منطقه ای و بارندگی متوسط برای حوزه های مورد بررسی . بارندگی متوسط با استفاده روش معکوس فاصله و با استفاده از داده های ایستگاه های باران سنگی در کل استان خراسان بزرگ با طول دوره آماری مناسب (۱۰ سال به بالا) محاسبه شدند.

نقشه های رقومی موجود پوشش اراضی و نقشه رقومی

## نتایج و بحث

### بررسی رسوب در حوزه های آبریز تحت مطالعه

برای به دست آوردن ضریب  $a$  و  $b$  در فرمول  $y = ax + b$  (معادله ۱) پس از دسته بندی داده های دبی جريان-دبی رسوب معلق هم زمان، ابتدا از داده های موجود لگاریتم گرفته شد و پس از رسم نمودار دبی جريان-دبی رسوب معلق، خط رگرسیون حداقل مربعات توسط نرم افزار اکسل از بین داده های کل سال و داده های ماه های پرباران سال عبور داده شد. ضریب  $a$  از  $6/78$  تا  $640$  و توان  $b$  از  $1/44$  تا  $3/96$  برای حالتی که از داده های باررسوبی در کل سال استفاده شود و ضریب  $a$  از  $8$  تا  $290$  و توان  $b$  از  $1/39$  تا  $3/78$  در حالتی که تنها از داده های بار رسوبی در ماه های پرباران سال استفاده شود متغیر بود.

بیشترین ضریب تبیین برای ایستگاه اولنگ اسدی ( $0/88$ ) واقع بر رودخانه کشف رود و کمترین ضریب تبیین ( $0/52$ ) برای ایستگاه امامزاده واقع بر رودخانه راد کان بود به طوری که از داده های رسوبی در کل ماه های سال استفاده شد و به طور مشابه بیشترین و کمترین ضریب تبیین ( $0/51$  و  $0/89$ ) مانند حالت پیش برای ایستگاه های اولنگ اسدی و امام زاده در حالتی بود که تنها از داده های برداشت شده در ماه های پرباران استفاده شد. بیشترین مقدار بار رسوبی  $19/5$  میلیون تن در سال برای ایستگاه پل خاتون واقع بر رودخانه کشف رود و کمترین مقدار  $4824$  تن در سال متعلق به ایستگاه چشمۀ علی واقع بر رودخانه خرو بود به طور مشابه بیشترین ( $19/7$  میلیون تن در سال) و کمترین مقادیر بار رسوبی محاسبه شده ( $4384$  تن در سال) برای ایستگاه های پل خاتون و چشمۀ علی در حالتی که از داده های رسوبی در ماه های پرباران استفاده شد به دست آمد.

سایر پارامترهای موثر بر آن را به ترتیب برای حوزه های بزرگ و کوچک نشان می دهد.

برای بررسی اثر پارامترهای مختلف بر تولید رسوب و ایجاد مدل های رگرسیونی، داده های رسوبی به دو دسته مقادیر بار رسوبی کل و بار رسوبی ویژه تقسیم شدند. بین کل سال و ماه های پرباران سال نیز محاسبات به صورت جداگانه انجام پذیرفت. کلیه اطلاعات رسوبی بر مبنای ضریب فرگوسن تصحیح شدند.

### روش های رگرسیونی

در این مطالعه برای ایجاد مدل های رگرسیونی از سه روش پیشرو، پسرو و روش بهترین ترکیب ها استفاده شد و نرم افزار SigmaStat برای این منظور مورد استفاده قرار گرفت.

### کفایت مدل ها

کفایت و دقیقت مدل های رگرسیونی به دست آمده توسط مقایسه مقادیر برآورد شده و مشاهده شده بار رسوبی با استفاده از فاکتور کفایت مدل برای تمام مدل های به دست آمده محاسبه شد (۸) :

$$ME=1-\sum(O_i-P_i)^2/\sum(O_i-O_{mean})^2 \quad (3)$$

که در آن  $n$  تعداد مشاهدات،  $O_{mean}$  متوسط مقادیر مشاهده شده،  $O_i$  مقادیر مشاهده شده،  $P_i$  مقادیر تخمین زده شده می باشد. مقدار  $ME$  از  $1$  تا منفی بی نهایت تغییر می کند و نشان دهنده تغییرات اولیه محاسبه شده توسط مدل می باشد. هر چه مقدار  $ME$  به  $1$  نزدیکتر باشد مدل دارای دقیقت و کفایت بیشتر است. مقادیر منفی  $ME$  بیانگر این مطلب هستند که مدل تغییراتی بیشتر از آن چه در واقعیت مشاهده شده ایجاد می کند و به عبارتی مدل دقیق نمی باشد.

جدول ۲) تابع های رگرسیونی زمین شناسی و پلاروسیو برابر ۱۷ جوده بزرگ

L.C	Sr	Himsein	Hil	Sc	Sam	Lim	Lir	L	A	HI	Ry	FY	C	DG	T	
نام	m	%	m	%	m	%	m	m	m	m	m	m	m	kN/m²	ad	
11001	بازگشان	339400	9.59	1901/4	1267	10/3	11/5/3	362545/7	154/10/8/6	5116E+08	0/32	0/374	0/451	1/76	0/298	
11003	چاهه بزرگ	46923	9.89	1863/2	1367	10/5	12/2/4	562521/64	249960/1	17724/0/5	8390E+08	0/24	0/0281	0/408	1/668	
11011	پل	27600	11/776	1959/3	1500	17/1	9/69	37578/9/7	11771/8/5	134680	5/97E+08	0/37	0/0343	0/783	1/556	
11013	پل	131800	6/36	1619/2	1600	9/1	4/73	15412/6/8	1008/33	445878	5/94E+09	0/34	0/0137	0/326	1/675	
11021	پل	37800	8/62	1608/2	2000	14/3	6/89	4399/7/29	16631/5/6	179388/3	1/24E+09	0/35	0/0529	0/67	1/496	
11027	پل	58800	8/23	154779	1600	12/4	4/92	58798/6/2	342280/3	20752/5/8	1/41E+09	0/24	0/0272	0/408	1/559	
11035	پل	49550	10/24	1312/7	2000	15/3	13/39	56017/3/7	165672/6	179471/3	1/12E+09	0/31	0/0413	0/474	1/435	
11039	پل	203395	7/53	1490/1	2900	10/3	5/07	24512/2/7	21516/8/3	67030/1/6	1/11E+10	0/29	0/0114	0/285	1/741	
47039	پل	88500	1/85	1684	1735	3/2	0/76	1270/53	10980/7/7	29780/1/3	4/11E+09	0/29	0/0156	0/531	1/303	
47045	پل	123996	2/02	1563/1	1834	3/1	0/6	17883/9/2	219477/8	486685/9	9/41E+09	0/27	0/0148	0/612	1/416	
47059	پل	37850	7/14	2102/3	1784	10/6	4/06	54618/6	13069/2/1	11713/8/7	5/35E+08	0/44	0/0474	0/377	1/429	
64033	پل	150900	7/8	1529/4	2105	8	0/59	15140/0/6	18762/20	44046/8	8/77E+09	0/3	0/0138	0/385	1/327	
64037	پل	247157	5/68	1352/6	2450	6/8	1/11	27698/1/5	383396/8	677573/6	1/63E+10	0/31	0/0097	0/267	1/498	
64039	پل	289547	5/74	1335/2	2800	6/9	1/85	31331/5/4	39015/8/3	732198/8	1/65E+10	0/36	0/0066	0/231	1/594	
65001	پل	55972	8/1	1090/7	1800	13	10/06	69517/7/8	25364/0/1	155517/2	8/29E+08	0/33	0/0322	0/265	1/524	
67001	پل	62767	14/3	174/2	2500	19/8	10/19	82000/3	36845/7/9	19556/0/2	1/10E+08	0/5	0/0398	0/285	1/601	
68005	پل	39490	14/27	1828/8	1810	17/8	19/11	59632/6/2	285477/8	16956/9/4	9/21E+08	0/46	0/0459	0/592	1/577	
P	Gm2	Qdm2	Rym	Rym	Open	Qmin	Ai	Qdy	Qdy	Qmin	Fy	Efri	Qdy	Efri	Qdy	
جذب	mm/yr	m3/s	mm3/yr	mm3/m	m3/yr	m3/yr	m2	m2	m2	m2	tov/yr	tov/yr	tov/yr	tov/yr	tov/yr	
11001	269	39442	1/1/18	0/0006/13	0/000459	3171/8	237/4	4/4	39/7	30964/2/9	40/136/0	2/31/6	2/365	9/160/4/3	5492/18/1	
11003	270/4	24/24	5/27	0/0002/09	0/0002/22	232/28	19/8	4/0/0	32/8	10314/1/2	15770/0/8	3/21/9	3/40/1	3318/4/4	53886/2/8	
11011	260/6	88/07	17/17	0/0008/14	0/0005/67	485/75	338/9	6/17	3/5	365600/5	20598/7	1/59	1/919	58/13/14	3863/19/4	
11013	270/2	153/37	35/85	0/0001/53	0/000115	863/8	851/1	6/1	4/7/7	19406/3	150517/3	3/53/2	2/23/7	6851/13	3565/2/9	
11021	273/6	26/97	8/35	0/0004/65	0/0002/63	503/88	326/8	4/0/8	19/2	5884/1/8	4418/0/8	2/43/1	2/54/4	1430/3/3	1153/71/3	
11027	276/2	9/1/85	11/49	0/0002/7	0/000185	380/67	265/9	5/8	6/11/2/7	22619/1/1	172/8	1/43/4	10546/1/9	32446/6/2	74788/6/5	
11035	33/1/2	16/17	4/2	0/0002/99	0/0001214	334/11	239/2	*	10/6	3552/4/2	25/13/11	1/958	1/968	6952/7/7	49411/189	62/23/34/5
11039	281/3	62/97	0/0002/11	0/000149	248/0/8	175/5/3	*	29/8	25/2/8	284/0/57	27/8/7	1/96/9	702/9/5/1	52761/88	595/48/54	
47039	282/4	39/56	15/52	3/8/1E-05	0/0003/35	158/25	145/4	5/7/7	44/8	6679/0/8	12/13/2/0	2/4/8/3	2/06/6	16452/8/5	25438/1/4/9	6116/7/0/2
47045	280/11	50/33	22/54	0/00003/37	347/7E-05	348/2	326/8	*	48/7	2679/8/3	26586/2/5	2/1	2/04/8	5626/1/6	5445/53/5	53/71/20/5
47059	275/4	39/83	12/49	0/0004/14	0/0003/32	221/29	170/9	22/3	12/5	1273/4/4	11146/8/9	2/25/5	2/06/5	28712/4/3	23/016/4/5	53/70/4/9/5
64033	275/4	65/54	24/52	3/6/2E-05	367/7E-05	335/10/9	313/1	6/0/2	25/4	82/16/8/6	0/35/12/3	2/6/5/7	2/23/4	20840/0/4	18660/2/	43/0/50/9/5
64037	260/5	122/9	36/9	4/22/2E-05	3/9/1E-05	68/8/3	*	30/3	4/19/8/7/4	4/03/0/5/0	2/44/8	2/26/3	10/26/8/4/3	6843/98/7	62/1/57/8	593/26/0/7
64045	260/8	214/45	51/93	0/00005/	4/7/1E-05	84/0/17	79/1/7	*	30/2	19556/4/6/8	1/372/0/1/9	2/36/8	2/19/5	4/02/9/5/1	2758/1/17	2578/20/8
65001	261/6	54/15	11/48	0/0002/69	0/00021/9	223/23	181/3	*	0	78225/5	16/417/6/7	1/90/7	1/73/5	149117/7/3	28488/5/1	179/98/12/
67001	271/4	51/45	16/61	0/00005/9	0/00003/7	686/8/5	4/9/3	53/7	5/8	34157/3/4	27616/5/4	2/48/1	2/13/4	8472/30/7	58944/4/3/4	727/9/18
68005	400/3	400/3	14/36	0/00003/7	0/00003/6	16/39	33/0/3	33/0/7	10/3/7	10/730/0	4/38/4/2	1/0/10	1/0/11/2	4/3/0/1/2	4/3/0/1/1/2	4/3/0/1/1/2

(جدول ۳) داده‌های الگیس، هیدرولوژیک، کاربری اراضی، زمین‌شناسی و بارگرسوسیه برای ۱۲ حوزه کوچک

نام حوزه	شماره	نام	نام	نام	نام	نام	نام	نام	نام	نام	نام	نام	نام	نام	نام	نام	نام	نام	نام	نام	نام	نام	نام	
نام	نام	نام	نام	نام	نام	نام	نام	نام	نام	نام	نام	نام	نام	نام	نام	نام	نام	نام	نام	نام	نام	نام	نام	
۱	۴۷۰۴۳	۱۷	۱۵۹۰۰	۲۸۷۶	۲۲۴۴۴	۱۲۹۰	۳۵	۲۰۷۰	۲۷۰۲۸۹۱	۲۱۳۶۰۳۶	۵۷۸۷۵۹۶	۰۵۰	۰۰۸۱۱	۰۰۶۵	۱۵۰۶	۱۸۱۷	۱۲۶۳	۰	۰	۰	۰	۰	۰	
۲	۴۷۰۶۱	۲۶	۲۲۱۰۰	۱۹۴۲	۱۹۵۱۳	۱۲۵۶	۲۰۷	۱۸۰۵	۳۶۵۵۰۲۶	۴۴۱۰۹۶۷	۱۰۶۵۰۳۷۷۶	۲۱۱۴۰۸	۰۰۴۸	۰۰۵۶۸	۰۰۴۱	۲۰۷۱	۲۰۶۸	۱۱۳۱	۰	۰	۰	۰	۰	
۳	۴۷۲۹۱	۲۶	۱۱۱۹۶	۲۰۹۳۵	۲۴۰۴	۱۶۰۹	۲۹۱	۱۵۲۰	۱۲۹۱۸۴۵	۶۴۰۳۲۷۵۷	۳۵۳۶۵۷۵	۸۱۷۵۰۷	۰۵۲	۰۱۴۳۸	۰۰۹۲	۱۲۷۱	۱۲۶۹	۱۳۱۶	۰	۰	۰	۰	۰	
۴	۴۷۰۸۵	۴۶	۱۴۹۵۴	۲۰۷۵	۲۳۳۷۷	۱۸۴۲	۲۳۶	۱۲۸۶	۱۵۰۰۸۷۴	۱۴۱۲۸۱۶	۴۷۸۹۵۷۶	۱۱۰۹۵۰۸	۰۰۴۸	۰۱۳۱۱	۰۱۳۵	۱۲۸۹	۱۳۰۰	۱۳۱۲	۰	۰	۰	۰	۰	
۵	۴۷۰۰۳	۴۷	۱۶۰۰۰	۲۰۹۰۳	۲۳۷۶	۱۷۰۲	۴۳۴	۳۵۱۱	۱۰۰۱۰۵۴	۱۵۱۲۶۱۶	۴۷۶۶۰۲۶	۸۱۷۵۰۷	۰۵۱	۰۱۰۶۴	۰۳۱۸	۱۴۸۸	۱۰۹۵۶	۱۲۷۲	۰	۰	۰	۰	۰	
۶	۶۲۰۰۳	۲۶	۱۴۸۰۰	۲۰۷۹۶	۲۰۵۶۲	۱۲۳۰	۲۱۰۷	۲۱۵۶	۱۶۶۵۲۰۳	۱۵۲۶۳۷۴۹	۵۳۳۴۳۱۳	۱۲۱۱۴۰۸	۰۰۴۰	۰۰۹۳۱	۰۵۵	۱۳۷۱	۱۲۶۸۹	۱۳۴۹	۰	۰	۰	۰	۰	
۷	۶۴۰۰۳	۴۶	۲۱۴۰۰	۳۱۰۹۰	۱۹۷۵۲	۱۶۹۵	۲۵۲	۲۸۲۸	۳۴۵۶۹۵۱	۲۸۰۰۱۶۱	۷۳۸۹۳۴۸	۲۴۶۴۰۸	۰۰۴۵	۰۰۷۹۲	۰۵۳۷	۱۳۳۱	۱۱۷۸	۱۲۱	۰	۰	۰	۰	۰	
۸	۶۴۰۰۷	۴۶	۲۰۵۲۶	۳۸۰۹۴	۲۱۸۴۲	۱۷۲۰	۴۷۱	۲۴۷۶	۲۶۰۷۷۰۱	۴۷۴۸۵۵۲	۸۰۷۰۱۱۸۲	۲۰۸۴۰۸	۰۰۴۴	۰۰۶۳۸	۰۸۷۵	۱۳۶۷	۱۲۵۵۹	۰	۰	۰	۰	۰	۰	
۹	۶۰۰۲۳	۲۶	۲۰۷۸۶	۳۷۳۹۲	۱۸۷۰۱	۱۶۸۰	۳۶۶	۳۶۰۱	۲۳۲۵۷۰۰	۱۷۶۸۶۶	۵۱۱۱۰۴۸	۶۹۱۲۰۷	۰۰۳۸	۰۰۸۰۸	۰۲۰۶	۱۵۲۷	۱۱۶۶۳	۱۳۹۷	۰	۰	۰	۰	۰	۰
۱۰	۶۴۰۲۷	۴۶	۲۰۴۵۰	۳۷۱۱۳	۱۹۷۲۳	۱۸۲۰	۴۰۳	۳۱۰۱۶	۲۵۲۴۰۵۱	۱۱۵۱۷۲۸	۵۰۷۰۸۰۶۳	۷۳۳۶۰۷	۰۰۳۹	۰۰۸۰۰	۰۱۷۵	۱۸۷۱	۱۵۷۱	۱۳۴۴	۰	۰	۰	۰	۰	۰
۱۱	۶۴۰۲۹	۴۶	۲۰۲۱۸	۳۶۰۹۰	۱۷۸۳۹	۱۶۴۲	۲۰۷۲	۳۶۷۴	۲۴۲۸۷۰۴	۲۱۸۶۲۲۹	۶۵۰۷۰۰۵	۱۴۰۶۰۸	۰۰۳۸	۰۰۷۱۳	۰۲۴۳	۱۳۲۱	۱۱۵۶۰	۱۳۶۱	۰	۰	۰	۰	۰	۰
۱۲	۶۶۰۰۱	۴۶	۲۱۵۳۰	۲۱۱۱۷	۱۶۱۱۴	۲۴۰۰	۳۲۷۶	۱۳۱۶	۳۲۲۱۰۷۴	۳۳۲۵۸۰۷	۸۱۱۴۵۷۷۸	۲۲۶۶۰۸	۰۰۳۹	۰۰۶۷۲	۰۱۵۳	۱۱۴۷۰	۱۱۹۴	۰	۰	۰	۰	۰	۰	

متفاوت حذف شدند. در نتیجه ۲۱ پارامتر مستقل باقی ماند. از این ۲۱ متغیر ضریب فشردگی و ضریب شکل هورتون نیز به علت عدم توجیه فیزیکی اثر آنها بر بار رسوبی ویژه وغیر ویژه حذف شدند. در نتیجه ۱۹ پارامتر مستقل برای ایجاد مدل در این حالت به کار برده شد (جدول ۴).

در حالتی که تنها ۱۷ حوزه بزرگ در نظر گرفته شوند از آنجا که در این حالت تنها ۱۷ نمونه برای ایجاد مدل رگرسیونی وجود دارد، تعداد متغیرهای مستقل نباید از ۱۶ متغیر بیشتر باشد. به این منظور تعدادی از متغیرهایی که دارای تأثیر کم بر روی مقادیر بار رسوبی غیر ویژه و ویژه در ماه های پرباران و کل سال در این حالت بودند حذف شدند. همچنین برای ایجاد مدل برای برآورد بار رسوبی غیر ویژه در کل سال، از مقادیر دبی متوسط جريان و رواناب در کل سال و برای ایجاد مدل برای بار رسوبی غیر ویژه در ماه های پرباران از مقادیر دبی متوسط جريان و رواناب متوسط در ماه های پرباران استفاده شد (جدول ۴).

در حالتی که تنها ۱۲ حوزه کوچک در نظر گرفته شوند در این حالت نیز مانند حالت قبل در انتخاب متغیرهای مستقل محدودیت وجود دارد به این صورت که متغیرهای مستقل نباید از ۱۱ عدد بیشتر باشند. به این ترتیب متغیرهای با ضریب همبستگی پایین از بین متغیرها حذف شدند.

در این حالت نسبت پستی و بلندی و ارتفاع مطلق به علت عدم وجود همبستگی بین آنها و مساحت حوزه ها حذف شدند. در حالی که ارتفاع متوسط حوزه ها و نسبت اختلاف ارتفاع به علت اینکه دارای نسبت همبستگی منفی و قابل قبول با مساحت بودند، برای ایجاد مدل در این حالت به کار گرفته شدند.

### بررسی نرمال بودن متغیرها

برای بیان و نشان دادن این موضوع که چه عواملی بار رسوبی را در حوزه های شمال استان خراسان بزرگ کنترل می کنند، ابتدا تست نرمال بر روی متغیرها انجام شد و سپس محاسبات ضریب همبستگی با استفاده از داده های مربوط به ۲۹ حوزه مورد نظر انجام گرفت. برای این منظور ضریب همبستگی پیرسن برای تمام جفت متغیرها به دست آمد. برای ایجاد جدول همبستگی بین متغیرهای مستقل ووابسته موجود فقط از داده هایی که دارای توزیع نرمال بودند برای تبدیل به حالت نرمال لگاریتم در مبنای ۱۰ گرفته شد (۱۱) (جدول ۴).

### استخراج مدل های رگرسیونی چند متغیره

بررسی ماتریس همبستگی بین پارامترهای مختلف حوزه نشان داد که هیچکدام از پارامترهای حوزه به تنها یی قادر به شرح تمام تغییرات مشاهده شده در بار رسوبی نیستند (ناظریان ۱) از این رو رگرسیون های چند متغیره با استفاده از روش های پیشرو، پسرو و بهترین ترکیب ها استفاده شد. به این منظور از آن جا که اکثر پارامترها در سه حالت در نظر گرفته شده، به خصوص داده های بار رسوبی، از توزیع لوگ نرمال پیروی می کنند، پس از لگاریتم گرفتن از تمام متغیرهای مستقل و وابسته عملیات ایجاد مدل انجام شد.

### انتخاب پارامترهای مستقل مناسب برای ایجاد مدل

در حالتی که کل ۲۹ حوزه در نظر گرفته شود در این حالت از ۲۳ متغیر مستقل، متغیرهای طول تمام رودخانه ها و تراکم زهکشی برای ایجاد مدل در هر چهار حالت بار رسوبی غیر ویژه در کل سال و در ماه های پرباران به علت اندازه گیری طول آبراهه ها در دو مقیاس

علت تغییرات موقتی بار رسویی در حوزه های کوچک است. به این علت که قسمت اعظم رسوب تحویلی در طول وقایع سیلابی عظیم رخ می دهد. در حوزه های بزرگ تغییرات موقتی در بار رسویی ویژه کمتر مشهود است. اگر مقدار بار رسویی غیر ویژه در نظر گرفته شود، حوزه های کوچک تأثیر کمتری خواهند داشت، به خاطر این که مقدار کل رسوب منتقل شونده در این حوزه ها محدود می باشد. در هر صورت برای اهداف طراحی، بار رسویی غیر ویژه مهم تر از بار رسویی ویژه می باشد (۱۰).

بهترین مدل های به دست آمده برای حالات مختلف مورد مطالعه به همراه ضریب تبیین و درصد معنی دار بودن مربوط به هر مدل در (جدول ۵) آورده شده است.

**ایجاد مدل با استفاده از روش بهترین ترکیب ها**  
در حالتی که ۲۹ حوزه با هم در نظر گرفته شوند برای ایجاد مدل در این حالت می بایست از ۱۹ متغیر استفاده شود. در نتیجه با این ۱۹ متغیر می توان در مجموع ۲<sup>۱۹</sup> مدل مشکل از ترکیب های متفاوت از متغیرها را تشکیل داد.

از آن جا که که ایجاد تمام این مدل ها امکان پذیر نمی باشد، با استفاده از نرم افزار سیگما است ۱۰۰ عدد از اولین و بهترین ترکیب های ۲، ۳، ۴ و تا ۱۹ تایی که دارای بالاترین ضریب تبیین بودند انتخاب شدند. تشخیص این که کدام یک از این ۱۰۰ مدل در هر کدام از ترکیب ها بهترین مدل می باشد با استفاده از فاکتور تورم واریانس (VIF) انجام شد به این صورت که اولین مدلی که تمام متغیر های آن دارای فاکتور تورم واریانس پایین تر از ۴ بودند به عنوان بهترین مدل از آن ترکیب انتخاب شد. همچنین در شرایطی که در بین ۱۰۰ ترکیب ایجاد شده اول از بهترین ترکیب های ۲ و ۳ و ... تایی هیچ ترکیبی که در آن تمام متغیر ها دارای VIF کوچکتر از ۴ باشند وجود نداشته باشد، ترکیبی

به علت محدودیت در انتخاب متغیرها، از بین پارامتر های فیزیو گرافی مربوط به شب، شب متوسط حوزه انتخاب شد. همچنین از دو پارامتر مساحت و محیط که دارای ضریب همبستگی تقریبا مشابه با مقادیر بار رسویی ویژه و غیر ویژه می باشند، پارامتر مساحت انتخاب شد (جدول ۴).

### بررسی مدل های تولیدی توسط روش های پسرو و پیشرو

در تمام مدل ها و برای تمام حالات معمولاً روش پیشرو، مدلی مشکل از متغیر های کمتر و اغلب مشکل از تنها یک یا دو متغیر را به وجود می آورد. در حالی که متغیر های موجود در مدل های ایجاد شده در روش پسرو پیشتر می باشد. اگرچه مدل های ایجاد شده به خصوصیات مدل های ایجاد شده توسط روش پسرو که دارای متغیر های زیاد هستند دارای ضریب تبیین بالا می باشند اما نمی توان تنها از روی ضریب تبیین بر مناسب بودن این مدل ها دلالت کرد. نکته قابل توجه در مدل های به دست آمده توسط این دو روش به خصوصیات روش پسرو برای حالات مختلف مورد بررسی، وجود همبستگی بالا بین متغیرها، بالاخص متغیر های ژئومورفولوژیکی می باشد که ارایه یک مدل یک مدل مناسب برای پیش یینی بار رسویی ویژه و غیر ویژه را با مشکل رو برو می کند. این مشکل در علم آمار به عنوان هم خطی بین متغیر های مستقل شناخته می شود. برای مشاهده هم خطی بین متغیر های موجود در مدل های استخراجی توسط دو روش پیشرو و پسرو برای حالات مختلف مورد بررسی مقدار VIF (فاکتور تورم واریانس) برای مدل های استخراجی توسط نرم افزار سیگما پلات به دست آمد (جدول ۵).

نکته دیگر بالا بودن ضریب تبیین برای مدل های برآورد رسوب غیر ویژه نسبت به بار رسویی ویژه می باشد. این امر به

نشان دهنده مناسب بودن مدل نمی باشد کفاایت و دقت مدل های کمی به دست آمده توسط فاکتور کفاایت مدل (معادله<sup>۳</sup>) محاسبه شد. بررسی فاکتور کفاایت به دست آمده برای مدل های استخراجی نشان داد که تنها دو مدل برآورد رسوب کل برای کل ماه های سال و ماه های پرباران سال علاوه بر داشتن ضریب تبیین بالا نسبت به سایر مدل های دارای فاکتور کفاایت بالا نیز می باشند در نتیجه مدل های مناسب برای پیش بینی به حساب می آیند. مقادیر کفاایت مدل برای مدل های استخراجی در (جدول<sup>۵</sup>) آمده است.

برای مقایسه بین مقادیر اندازه گیری شده و محاسبه شده از روش بهترین ترکیب ها، مقادیر آن ها در یک نمودار در مقابل هم رسم شد (شکل<sup>۱</sup>). بیشترین مقدار ضریب تبیین بین مقادیر اندازه گیری شده و محاسبه شده در حالتی بود که ۱۲ حوزه کوچک در نظر گرفته شدو برآورد بار رسوبی کل در تمام ماه های سال مد نظر قرار گرفت. البته با حذف دو ایستگاه روح آباد(۴۱۶۰ کیلومترمربع) و پل خاتون(۱۶۸۰۰ کیلومترمربع) در ضریب تبیین بین مقادیر اندازه گیری شده و محاسبه شده در مدل های برآورد باررسوبی کل و در حالتی که تمام حوزه ها (از ۵۱۴۰ به ۰/۸۱ کل ماه های سال و از ۰/۴ به ۰/۹ برای ماه های پرباران سال) و ۱۷ حوزه بزرگ (از ۰/۲۶ به ۰/۶۸ برای کل ماه های سال و از ۰/۵۴ به ۰/۷۳ برای ماه های پرباران سال) در نظر گرفته شوند افزایش قابل توجهی ایجاد شد.

همچنین با حذف ایستگاه کلاته رحمان(۱۲۱ کیلومترمربع) در حالتی که محاسبه بار رسوبی ویژه در کل ماه های سال برای ۱۲ حوزه کوچک مدد نظر باشد، مقدار ضریب تبیین بین مقادیر محاسبه شده و مقادیر اندازه گیری شده از ۰/۵۹ به ۰/۷۹ افزایش یافت. به نظر می رسد که آمار در این ایستگاه ها غیر واقعی باشد

که در آن تمام متغیرها دارای VIF کمتر از ۱۰ (حد بحرانی VIF) باشد به عنوان بهترین ترکیب انتخاب شد.

مدل رگرسیونی چند متغیره به دست آمده از روش بهترین ترکیب ها به ترتیب ۹۰ و ۸۹ درصد تغییرات باررسوبی را برای حالتی که ۲۹ حوزه با هم در نظر گرفته شد و برآورد بار رسوبی کل در کل ماه های سال و ماه های پرباران سال مد نظر بود را شرح داد. پارامتر های این مدل عبارتند از طول حوزه، ارتفاع متوسط حوزه، نسبت پستی و بلندی و بارندگی متوسط منطقه ای. اما مدل رگرسیونی به دست آمده از این روش برای برآورد بار رسوبی ویژه در کل سال و ماه های پرباران سال تنها ۴۰ و ۴۱ درصد تغییرات بار رسوبی ویژه را شرح می دهد که این امر احتمالاً به دلیل تغییرات زیاد در محدوده مساحتی حوزه های مورد بررسی می باشد. با گروه بندی داده ها به دو دسته حوزه های کوچک و بزرگ تغییراتی در ضریب تبیین مدل های استخراجی به خصوص مدل های ایجاد شده برای برآورد بار رسوبی ویژه ایجاد شد. به طوری که مدلی مشکل از ۵ پارامتر شبیه متوسط رودخانه ها، ارتفاع متوسط، شبیب رودخانه اصلی، تراکم زهکشی و دبی لحظه ای حداقل با دوره بازگشت ۲ سال تا ۸۰ درصد تغییرات بار رسوبی ویژه در کل سال را بیان کرد.

همچنین افزایش در ضریب تبیین برای برآورد بار رسوبی ویژه در حالتی که ۱۲ حوزه کوچک مورد بررسی قرار گرفتند نیز مشاهده شد به طوری که ۷۱ درصد تغییرات بار رسوبی ویژه در کل سال توسط ۴ پارامتر شبیه متوسط حوزه، مساحت حوزه، دبی روزانه حداقل با دوره بازگشت ۲ سال و رواناب متوسط سالانه بیان شد.

**۳-۷- ارزیابی مدل های تولیدی**  
از آنجا که تنها بالا بودن ضریب تبیین برای یک مدل

Archive of SID

(جدول ۳) ماتریس هم‌سنتی بین خصوصیات حوزه و پارامترهای انتخاب شده (۱) برای ساخت مدلها

	N	N	N	N	N	N	N	N	N	N	N	N	N	N
L:	S <sub>z</sub>	H <sub>max</sub>	H <sub>z</sub>	S <sub>x</sub>	S <sub>y</sub>	L <sub>z</sub>	A	L <sub>x</sub>	L <sub>y</sub>	L <sub>z</sub>	A	L <sub>x</sub>	L <sub>y</sub>	L <sub>z</sub>
SY1	-0.778 <sup>*</sup>	-0.939 <sup>*</sup>	0.255	-0.772 <sup>*</sup>	-0.07 <sup>*</sup>	0.059 <sup>*</sup>	0.059 <sup>*</sup>	0.051 <sup>*</sup>	0.051 <sup>*</sup>	-0.086 <sup>*</sup>	-0.01	-0.012	-0.012	-0.012
SY2	-0.939 <sup>*</sup>	-0.937 <sup>*</sup>	0.255	-0.772 <sup>*</sup>	-0.07 <sup>*</sup>	0.059 <sup>*</sup>	0.059 <sup>*</sup>	0.051 <sup>*</sup>	0.051 <sup>*</sup>	-0.086 <sup>*</sup>	-0.01	-0.012	-0.012	-0.012
SSY1	-0.752	-0.911	0.255	-0.772 <sup>*</sup>	-0.07 <sup>*</sup>	0.052	0.051	0.051	0.051	-0.086 <sup>*</sup>	-0.01	-0.011	-0.011	-0.011
SSY2	-0.752	-0.911	0.255	-0.772 <sup>*</sup>	-0.07 <sup>*</sup>	0.052	0.051	0.051	0.051	-0.086 <sup>*</sup>	-0.01	-0.011	-0.011	-0.011
A	-0.939 <sup>*</sup>	-0.939 <sup>*</sup>	0.255	-0.772 <sup>*</sup>	-0.07 <sup>*</sup>	0.059 <sup>*</sup>	0.059 <sup>*</sup>	0.051 <sup>*</sup>	0.051 <sup>*</sup>	-0.086 <sup>*</sup>	-0.01	-0.012	-0.012	-0.012
SY1	#	#	#	#	#	#	#	#	#	#	#	#	#	#
SY2	#	#	#	#	#	#	#	#	#	#	#	#	#	#
SSY1	#	#	#	#	#	#	#	#	#	#	#	#	#	#
SSY2	#	#	#	#	#	#	#	#	#	#	#	#	#	#

۱- مجموعه داده های مورد بررسی قرار دارد، ۲- مجموعه داده های مورد بررسی قرار ندارد.

	N	N	N	N	N	N	N	N	N	N	N	N	N	N
L:	S <sub>z</sub>	H <sub>max</sub>	H <sub>z</sub>	S <sub>x</sub>	S <sub>y</sub>	L <sub>z</sub>	A	L <sub>x</sub>	L <sub>y</sub>	L <sub>z</sub>	A	L <sub>x</sub>	L <sub>y</sub>	L <sub>z</sub>
SY1	0.778 <sup>*</sup>	-0.939 <sup>*</sup>	-0.255	-0.772 <sup>*</sup>	-0.07 <sup>*</sup>	0.059 <sup>*</sup>	0.059 <sup>*</sup>	0.051 <sup>*</sup>	0.051 <sup>*</sup>	-0.086 <sup>*</sup>	-0.01	-0.012	-0.012	-0.012
SY2	0.939 <sup>*</sup>	-0.937 <sup>*</sup>	-0.255	-0.772 <sup>*</sup>	-0.07 <sup>*</sup>	0.059 <sup>*</sup>	0.059 <sup>*</sup>	0.051 <sup>*</sup>	0.051 <sup>*</sup>	-0.086 <sup>*</sup>	-0.01	-0.012	-0.012	-0.012
SSY1	-0.752	-0.911	-0.255	-0.772 <sup>*</sup>	-0.07 <sup>*</sup>	0.052	0.051	0.051	0.051	-0.086 <sup>*</sup>	-0.01	-0.011	-0.011	-0.011
SSY2	-0.752	-0.911	-0.255	-0.772 <sup>*</sup>	-0.07 <sup>*</sup>	0.052	0.051	0.051	0.051	-0.086 <sup>*</sup>	-0.01	-0.011	-0.011	-0.011
A	-0.939 <sup>*</sup>	-0.939 <sup>*</sup>	-0.255	-0.772 <sup>*</sup>	-0.07 <sup>*</sup>	0.059 <sup>*</sup>	0.059 <sup>*</sup>	0.051 <sup>*</sup>	0.051 <sup>*</sup>	-0.086 <sup>*</sup>	-0.01	-0.012	-0.012	-0.012
SY1	#	#	#	#	#	#	#	#	#	#	#	#	#	#
SY2	#	#	#	#	#	#	#	#	#	#	#	#	#	#
SSY1	#	#	#	#	#	#	#	#	#	#	#	#	#	#
SSY2	#	#	#	#	#	#	#	#	#	#	#	#	#	#

	نام مدل	معارفیت	متغیرهای مورد بررسی											
SY1	SY1	۰.۷۷۸	-۰.۹۳۹*	۰.۲۵۵	-۰.۷۷۲*	-۰.۰۷*	۰.۰۵۹*	۰.۰۵۱*	۰.۰۵۱*	-۰.۰۸۶*	-۰.۰۱	-۰.۰۱۲	-۰.۰۱۲	-۰.۰۱۲
SY2	SY2	۰.۹۳۹*	-۰.۹۳۷*	۰.۲۵۵	-۰.۷۷۲*	-۰.۰۷*	۰.۰۵۹*	۰.۰۵۱*	۰.۰۵۱*	-۰.۰۸۶*	-۰.۰۱	-۰.۰۱۲	-۰.۰۱۲	-۰.۰۱۲
SSY1	SSY1	-۰.۷۵۲	-۰.۹۱۱	-۰.۲۵۵	-۰.۷۷۲*	-۰.۰۷*	۰.۰۵۲	۰.۰۵۱	۰.۰۵۱	-۰.۰۸۶*	-۰.۰۱	-۰.۰۱۱	-۰.۰۱۱	-۰.۰۱۱
SSY2	SSY2	-۰.۷۵۲	-۰.۹۱۱	-۰.۲۵۵	-۰.۷۷۲*	-۰.۰۷*	۰.۰۵۲	۰.۰۵۱	۰.۰۵۱	-۰.۰۸۶*	-۰.۰۱	-۰.۰۱۱	-۰.۰۱۱	-۰.۰۱۱
A	A	-۰.۹۳۹*	-۰.۹۳۹*	-۰.۲۵۵	-۰.۷۷۲*	-۰.۰۷*	۰.۰۵۹*	۰.۰۵۱*	۰.۰۵۱*	-۰.۰۸۶*	-۰.۰۱	-۰.۰۱۲	-۰.۰۱۲	-۰.۰۱۲

**نتیجه**

نتایج نشان داد که ترکیب پارامترهای مختلف توسط معادلات رگرسیونی تا حد زیادی تغییرات بار رسوبی را در حالات مختلف در حوزه های شمالی استان خراسان بزرگ بیان می کند.

مساحت حوزه ها به تنها ۸۳ درصد و ۷۹ درصد تغییرات بار رسوبی را در سطح معنی داری یک درصد به ترتیب برای داده های بار رسوبی غیر ویژه در کل ماه های سال و ماه های پرباران سال در حالتی که کل ۲۹ حوزه باهم در نظر گرفته شد تغییرات بار رسوبی غیر ویژه در نظر گرفته شد را شرح داد.

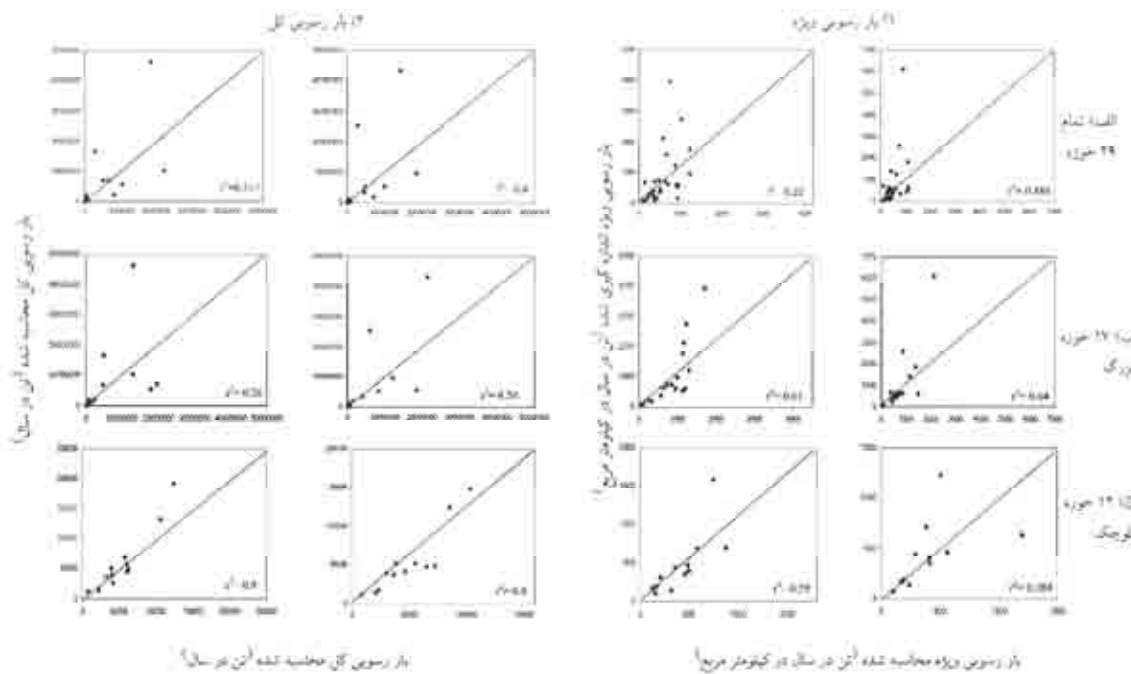
همچنین مساحت حوزه ها ۶۶ درصد و ۶۲ درصد تغییرات بار رسوبی را در سطح معنی دار یک درصد به ترتیب برای داده های بار رسوبی غیر ویژه در کل ماه های سال و ماه های پرباران سال در حالتی که کل ۱۷ حوزه بزرگ در نظر گرفته شد شرح داد. اثر مساحت بر مقادیر مختلف بار رسوبی ویژه در شرایطی که کل ۲۹ حوزه و ۱۷ حوزه بزرگ در نظر گرفته شد اگرچه مثبت است اما معنی دار نمی باشد. اثر مساحت بر مقادیر بار رسوبی غیر ویژه در کل ماه های سال و ماه های پرباران سال در حالتی که کل ۱۲ حوزه کوچک در نظر گرفته شود معنی دار نمی باشد ولی مثبت است در حالی که اثر مساحت در این حالت بر بار رسوبی ویژه در کل ماه های سال و ماه های پرباران سال برخلاف حالات قبلی منفی بود.

مساحت حوزه ها در حالت های مختلف بار رسوبی به صورت یک متغیر جعبه سیاه عمل کرده و مانع از شرح اثر واقعی پارامترهای ژئومورفولوژیکی دیگر در حوزه های مورد نظر شد.

مدل های به دست آمده برای پیش بینی بار رسوبی ویژه در حالت های مختلف (بخصوص برای حالتی که کل حوزه باهم در نظر گرفته شد) دارای ضریب تبیین و کفايت مدل پایین تر نسبت به مدل های برآورد بار رسوبی غیر ویژه بودند. اما تقسیم این ۲۹ حوزه به دو دسته ۱۷ حوزه بزرگ و ۱۲ حوزه کوچک سبب افزایش ضریب تبیین و کفايت مدل پیش بینی کننده بار رسوبی ویژه شد. به طور کلی مدلی که بار رسوبی غیر ویژه را در کل ماه های سال در ۱۲ حوزه کوچک پیش بینی می کند با ضریب تبیین ۰/۸۵ و کفايت مدل بهترین مدل پیش بینی بار رسوبی به حساب آمد.

از آنجا که مدل های پیش بینی کننده بار رسوبی غیر ویژه در تمام حالات دارای ضریب تبیین و کفايت مدل بالاتر بودند می توان از این مدل ها برای محاسبه مقدار رسوب تعویلی به رودخانه ها و تاسیسات مختلف ذخیره آب مانند سدها و مخازن ذخیره سیلان استفاده کرد. بار رسوب ویژه را می توان در این حالات از تقسیم مقدار محاسبه شده بار رسوبی غیر ویژه توسط این مدل ها تقسیم بر مساحت حوزه ها محاسبه کرد.





(شکل ۱) - رابطه بین مقادیر اندازه گیری شده و محاسبه شده بار رسوبی در حالت مختلف

## منابع

- 1- ناظریان، ح. ۱۳۸۴. ارائه مدل های رگرسیونی چند متغیره برآورد رسوب در حوزه های شمال استان خراسان بزرگ. پایان نامه کارشناسی ارشد آبیاری و زهکشی. دانشگاه فردوسی مشهد.
- 2- Asselman, N. E. M. 2000. Fitting and interpretation of sediment rating curves. *Journal of Hydrology* 234: 228-248.
- 3- Church, M., D. Ham, M. Hassan and H. O. Slaymaker. 1999 . Fluvial clastic sediment yield in Canada: scaled analysis. *Canadian Journal of Earth Sciences* 36(8):1267-1280.
- 4- Dendy, F. E. and G. C. Bolton. 1976. Sediment yield-runoff-drainage area relationships in the United States. *Journal of Soil and Water Conservation* 31:264-266.
- 5- Ferguson, R. I. 1986. River loads underestimated by rating curves. *Water Resources Research* 22: 74-76.
- 6- Harrison, C. G. A. 2000. What factor control mechanical erosion rates. *Int. J. Earth Sci.* 531.
- 7- Lane, L. J., M. Hernandez and M. Nichols. 1997. Processes controlling sediment yield from watersheds as functions of spatial scale. *Environmental Modeling and Software* 12: 355-369.
- 8- Nash, J. E., J.V. Sutcliffe. 1970. Riverflow forecasting through conceptual models: PartI.A discussion of principles. *Journal of Hydrology* 10:282-290.
- 9- Vanoni, V.A. 1975. *Sedimentation Engineering*. Asce Manuals and Reports on Engineering Practices. Vol. 54.
- 10- Verstraeten, G. and J. Poesen. 2001. Factors controlling sediment yield from small intensively cultivated catchments in temperate humid climate. *Geomorphology* 40: 123-144.
- 11- Verstraeten, G., J. Poesen, J. D. Vente, and X. Koninckx. 2003. Sediment yield variability in Spain:a quantitative and semiquantitative analysis using reservoir sedimentation rates. *Geomorphology* 50: 327-348.
- 12- Walling , D. E. 1994. Measuring sediment yield from river basins. In: Lal, R. (Ed.), *Soil Erosion Research Methods*. 2nd edn. Soil and Water Conservation Society, Ankeny, IA, USA, pp: 39-80.

## Multivariate regression models for predicting sediment yield of the northern watersheds in the Great Khorasan province

S.R.Khodashenas<sup>\*</sup> – B.Gahraman – K.Davary – H.Nazerian<sup>1</sup>

### Abstract

Sediment load-discharge data of hydrometric stations in the north of Great Khorasan province were studied. Twenty nine stations were selected and the mean annual sediment yield was computed using sediment rating curves. The total annual sediment yield for these catchments ( $61.5$  to  $16800 \text{ km}^2$ ) varied between  $4.8$  to  $19500 \text{ M ton/year}$  and the specific sediment yield varied between  $62$  to about  $4000 \text{ ton/year/km}^2$ . Due to large variations in the total and specific sediment yield, 29 selected catchments were divided in two groups: 17 large catchments ( $\text{area}>500 \text{ km}^2$ ) and 12 smaller ones ( $\text{area}<300 \text{ km}^2$ ). Various characteristics of the catchments such as geomorphology, climate, hydrology, land cover and geology were analyzed to describe the reasons behind the sediment yield variations. Multivariate regression models between independent variables and different forms of sediment yield were developed. The results showed that after classifying the catchments into 2 groups (large and small),  $R^2$  and the adequacy of specific sediment yield prediction models were highly increased. Also, the results showed that  $R^2$  for total sediment yield prediction models were higher than that of specific sediment yield prediction models. Finally, the best model for each class and form (total/ specific yield) were selected. The model including mean elevation, mean slope, mean annual discharge, mean precipitation and maximum daily discharge with return period of 2 years was selected as the best model to predict the total annual sediment yield of the 12 small catchments ( $R^2 = 0.85$ ,  $ME=0.79$ ).

**Key words:** Regression models, sediment yield prediction, watershed, Great Khorasan province.

\*- Corresponding author Email: Saeed khodashenas@yahoo.fr  
<sup>1</sup> - Contribution from College of Agriculture ferdowsi University of Mashhad